

# حذف فتوکاتالیستی کروم شش ظرفیتی از محیط‌های آبی با استفاده از نانوذرات اکسید روی در شرایط هوایی و بی‌هوایی: مطالعه سینتیکی

دکتر محمدرضا سمرقندی (PhD)<sup>۱</sup>- دکتر مهرداد فرجی (PhD)<sup>۲</sup>- مهدی شیرزاد سیبینی (PhD Candidate)<sup>۳و۴</sup>

\*نویسنده مسؤول: گروه مهندسی بهداشت محیط، دانشکده بهداشت، دانشگاه علوم پزشکی گیلان، رشت، ایران

پست الکترونیک: mshirzadsiboni@yahoo.com

تاریخ دریافت مقاله: ۹۲/۱۱/۰۷ تاریخ پذیرش: ۹۲/۰۷/۰۸

## چکیده

مقدمه: یکی از عمدۀ ترین آلاینده‌های محیط زیست که در پساب صنایع مختلف، از جمله آب‌کاری وجود دارد، کروم شش ظرفیتی است که برای انسان و محیط زیست، بسیار سمی است.

هدف: هدف از این تحقیق، بررسی حذف فتوکاتالیستی کروم شش ظرفیتی از محیط‌های آبی با استفاده از نانوذرات اکسید روی در شرایط هوایی و بی‌هوایی درسیستم ناپیوسته بود.

مواد و روش‌ها: ابتدا طراحی و ساخت راکتور صورت گرفت و بعد از آن، تأثیر H<sub>2</sub>O<sub>2</sub>، غلظت اولیه کروم شش ظرفیتی در مقدار اولیه اکسید روی با ۱۰ mg/L ادر حضور گاز نیتروژن و اکسیژن به میزان ۲ L/min برسی شد. غلظت باقیمانده کروم شش ظرفیتی نیز به روش ۱/۵ دی فنیل کربازاید توسط دستگاه اسپکتروفوتومتر (UV/VIS Shimadzo-1700, Japan)، در طول موج ۵۴۰ نانومتر تعیین گردید.

نتایج: نتایج مشخص ساخت که کارایی حذف کروم شش ظرفیتی با افزایش pH از ۴ به ۸ در شرایط ثابت، از ۵۷/۶۵٪ به ۶۸/۶٪ و از ۵/۳۰٪ به ۷۹/۵٪ به ترتیب در شرایط هوایی و بی‌هوایی کاهش یافت. هم‌چنین با افزایش غلظت اولیه کروم از ۱۰ به ۵۰ میلی گرم بر لیتر، کارایی حذف در شرایط هوایی که هوایی از ۹۸/۹٪ به ۴۰/۴٪ کاهش یافت. میزان کارایی حذف در شرایط هوایی کمتر از شرایط بی‌هوایی بود. هم‌چنین، در کلیه موارد، فرآیند مورد مطالعه از سینتیک درجه یک بهتر بیرونی کرد.

نتیجه‌گیری: به طور کلی، نتایج نشان داد که می‌توان از فرآیند مورد استفاده، به عنوان یک روش موثر در حذف کروم شش ظرفیتی از محیط‌های آبی استفاده کرد. هم‌چنین، میزان اکسیژن محلول از احیای کروم شش به سه ظرفیتی، به طور چشمگیری جلوگیری می‌کند.

## واژه‌های کلیدی: اکسید روی / تصفیه آب / کروم شش ظرفیتی

مجله دانشگاه علوم پزشکی گیلان، دوره بیست و دوم، ویژه‌نامه بهداشت محیط، صفحات: ۱-۱۰

## مقدمه

رساندن آب سالم به دست مصرف‌کننده، تصفیه آب‌های آلوده تا رسیدن به استانداردهای مورد نظر است(۱-۴). فلزات سنگین، در گروه آلاینده‌های درجه اول سمی قرار دارند. ترکیبات سمی درجه اول، موادی هستند که دارای خطرات زیست محیطی و برای سلامت انسان زیان‌آور هستند(۴). اغلب فلزات سنگین در واکنش‌های بیولوژیک سلول‌های موجودات زنده دخالت می‌کنند و فعالیت‌های متابولیکی را مختل می‌نمایند. کروم یکی از فلزات صنعتی مهم است که در فرآیندها و تولیدات مختلف استفاده می‌شود(۵). کروم از طریق فاضلاب‌های تولیدی از صنایع آبکاری، نساجی،

سالیانه، مقادیر زیادی فاضلاب از منابع خانگی، کشاورزی و صنعتی وارد محیط زیست می‌شود که حاوی غلظت بالایی از مواد شیمیایی آلی و غیرآلی نظیر حلال‌های هیدرورکربن، فلزات سنگین، حشره‌کش‌ها و رنگ‌ها هستند(۱). سمیت، پایداری و غلظت بالای آلاینده‌ها، اثرات زیست محیطی، اقتصادی و بهداشتی زیادی ایجاد می‌کند. آلودگی آب، یکی از بزرگ‌ترین مشکلات ناشی از این آلاینده‌هاست (۳-۱). ضمن این‌که آلاینده‌های ناشی از منابع طبیعی نیز به طرق مختلف، از جمله در حین عبور آب از خاک‌ها، صخره‌ها و سنگ‌ها و از طریق رواناب‌ها وارد منابع آب می‌گردد. یکی از راهکارهای

۱. گروه مهندسی بهداشت محیط، دانشکده بهداشت، دانشگاه علوم پزشکی همدان، همدان، ایران

۲. گروه مهندسی بهداشت محیط، دانشکده بهداشت، دانشگاه علوم پزشکی البرز، کرج، ایران

۳. گروه مهندسی بهداشت محیط، دانشکده بهداشت، دانشگاه علوم پزشکی گیلان، رشت، ایران

۴. گروه مهندسی بهداشت محیط، دانشکده بهداشت، دانشگاه علوم پزشکی ایران، تهران، ایران

آلاینده‌ها به مواد بی‌ضرر و کم‌ضرر تر استفاده شوند. فلزات با ظرفیت صفر (مانند  $Sn^0$ ,  $Zn^0$ ,  $Fe^0$  و  $Al^0$ ) عوامل موثری برای اصلاح آب‌های زیرزمینی آلوده است.<sup>(۱۱-۱۵)</sup>

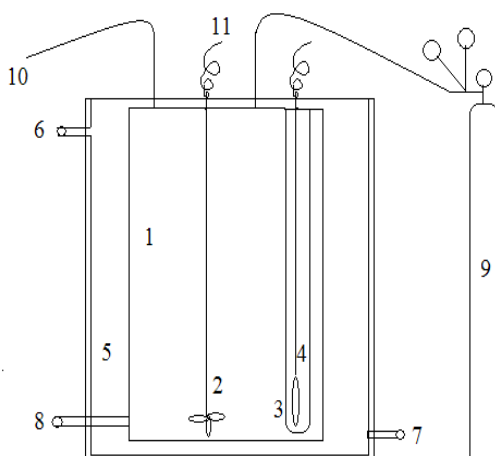
واژه فتوکاتالیست در اصل، به معنی شتاب بخشیدن به یک واکنش فوتونی توسط کاتالیست است. به عبارت دیگر، کاتالیست در شرایط تهییج شده یا عادی خود از طریق میان کنش با مواد واکنش‌گر یا محصولات اویله، واکنش فوتونی را تسربی خواهد کرد. کاتالیست‌ها انواع مختلفی دارند. بهترین راه برای پاکسازی آب‌های آلوده، استفاده از کاتالیستی است که بر روی تعداد زیادی از آلاینده‌ها موثر باشد<sup>(۱۶ و ۱۷)</sup>. در چنین شرایطی اکسیدهای فلزی مثل  $ZnO$ ,  $W_{O_3}$  و  $TiO_2$  بهترین گزینه هستند. در فرآیند اکسایش پیشرفت‌های با استفاده از تولید رادیکال هیدروکسیل ( $OH^-$ ) ترکیباتی که به وسیله اکسیدکننده‌های متداول از قبیل ازن و کلر اکسید نمی‌شوند، از بین می‌رود. رادیکال هیدروکسیل در محیط‌های آبی با استفاده از  $H_2O_2$ ,  $UV/ZnO$ ,  $UV/TiO_2$ ,  $UV/H_2O_2$  و سایر روش‌ها تولید می‌شود<sup>(۹-۱۵)</sup>. از بین این روش‌ها، احیای فتوکاتالیستی با استفاده از فرآیند  $UV/ZnO$  می‌تواند به طور هم زمان، ترکیبات آلی و فلزات سنگین را احیا و ترکیبات غیرقابل تجزیه بیولوژیکی را به ترکیبات قابل تجزیه بیولوژیکی تبدیل کند.  $ZnO$  به عنت جذب فرابنفش، پایداری بسیار و گاف انرژی زیاد عرض (حدود ۳/۲۲ الکترون ولت) و انرژی اکسایتون بالا (حدود ۶۰ میلی الکترون ولت) به طور وسیع برای تجزیه فتوکاتالیستی ترکیبات شیمیایی در محیط‌های آبی استفاده می‌شود<sup>(۱۶, ۹ و ۱۷)</sup>.

با توجه به این که یکی از مشکلات اصلی صنایع وجود فلزات سنگین است، فلزات سنگین در گروه آلاینده‌های درجه اول سمی قرار دارند که خطرات زیست محیطی دارند و برای سلامت انسان زیان‌آور هستند. اغلب فلزات سنگین در واکنش‌های بیولوژیک سلول‌های موجودات زنده دخالت می‌نمایند و فعالیت‌های متابولیکی را مختل می‌کنند و باعث آلودگی زیست محیطی می‌شوند. بنابراین، هدف اصلی از انجام این تحقیق، حذف فتوکاتالیستی کروم شش ظرفیتی از محیط‌های آبی با استفاده از نانوذرات اکسید روی در شرایط هوایی و بی‌هوایی است. هم‌چنین، متغیر اساسی مؤثر در

چرمسازی و کودسازی به محیط زیست، آب‌های سطحی و زیرزمینی وارد می‌شود<sup>(۵)</sup>. کروم شش ظرفیتی در محیط حرکت می‌کند و بسیار سمی، سرطانزا و جهش‌زاست، در حالی که کروم سه ظرفیتی، سمیت کمتری دارد. تجمع کروم در بافت‌های حیوانی و گیاهی می‌تواند سبب بروز مخاطرات جدی گردد. کروم باعث ایجاد اختلال در کار کبد، کلیه و ریه نیز می‌شود<sup>(۶ و ۷)</sup>. همچنین WHO سرطانزا بودن کروم شش ظرفیتی را در انسان تایید کرده است. WHO مقدار حداقل مجاز کروم در آب اشامیدنی را ۰/۰۱ میلی‌گرم در لیتر تعیین نموده است. این مقدار، براساس استانداردهای آب آشامیدنی ایران، ۰/۰۵ میلی‌گرم در لیتر تعیین گردیده است<sup>(۸)</sup>.

تحقیقات زیادی بر روی حذف کروم (VI) انجام یافته و بسیاری از فرآیندهای تصفیه بررسی شده‌است. جذب فیزیکی-شیمیایی جزو روش‌هایی است که مورد تحقیق و مطالعه قرار گرفته است. اما، این روش هزینه بالایی دارد و تنها کروم شش ظرفیتی به کروم سه ظرفیتی تبدیل می‌شود. فرآیندهای غشایی مانند اسمز معکوس و الکترودیالیز، نیز از روش‌های بسیار پرهزینه محسوب می‌گردند<sup>(۳ و ۸)</sup>. حذف و کاهش زیستی به وسیله برخی گونه‌های باکتری برای حذف کروم شش ظرفیتی، روشی موثر و اقتصادی است. ولی مواد سمی باکتریکش در جایگاه‌های دفع مواد زاید و در بسیاری از فاضلاب‌ها، باعث محدود شدن رشد و عملکرد این فرآیند می‌گردد<sup>(۹ و ۱۰)</sup>. یکی از راه حل‌های اساسی برای رفع این چالش‌ها، استفاده از فناوری‌هایی است که دارای هزینه‌های سرمایه‌گذاری و بهره‌برداری کم در اندازه بسیار کوچک و با ظرفیت بسیار بالا هستند. نانوتکنولوژی، فرآیندی است که در جلوگیری از آلودگی، شناسایی، اندازه‌گیری و تصفیه آلاینده‌ها نقش کلیدی ایفا می‌کند. گزارش‌های زیادی در مورد استفاده از نانوتکنولوژی، به عنوان فرآیندی موثر در تصفیه و حذف آلاینده‌ها از محیط زیست وجود دارد. یکی از فناوری‌های نانو که اخیراً مقبولیت زیادی پیدا کرده است، استفاده از ذرات در مقیاس نانو برای تصفیه و حذف آلاینده‌های است. به عنوان مثال، ذرات نانو به دلیل داشتن اندازه کوچک، سطح مقطع زیاد، شکل کریستالی و نظم شبکه‌ای منحصر به فرد و در نتیجه، واکنش‌پذیری بسیار زیاد می‌توانند برای تصفیه و تبدیل

دقیقه بود که به صورت جداگانه در دو شرایط هوایی (حضور گاز اکسیژن) و بی‌هوایی (حضور گاز نیتروژن) به میزان  $2\text{ L/min}$  در مقدار اولیه نانوذرات اپتم بهدست آمده برابر با  $\text{L/g}$  ۱ از مقاله قبلی ما انجام شد<sup>(۱۵)</sup>. برای آغاز آزمایش‌های فتوکاتالیستی، ابتدا محلول حاوی نانوذرات و کروم شش ظرفیتی، در تاریکی بعد از ۳۰ دقیقه به تعادل رسید. بعد از به تعادل رسیدن، لامپ UV روشن و محلول به طور مداوم توسط همزن مغناطیسی (M, H1-190 Singapore) هم زده شد. با توجه به دوز بهینه نانوذرات برابر با  $\text{g/L}$  ۱ از مقاله پیشین ما، آزمایش‌ها با ثابت نگه داشتن سه متغیر و تغییر دادن یک متغیر انجام گردید. برای اجتناب از نور خورشید، همه نمونه‌ها با فویل آلومینیوم پوشیده شد. جهت حذف نانوذرات، نمونه با دور  $4000\text{ rpm}$  ۳۰۱، -Sigma (Japan) به ترتیب، به مدت ۱۰ دقیقه سانتریفوژ شد<sup>(۱۶)</sup>. غلظت باقیمانده کروم شش ظرفیتی به روش UV/VIS دی فیل کربازید، توسط دستگاه اسپکتروفوتومتر (Shimadzo-1700, Japan) و در طول موج  $540\text{ nm}$  نانومتر، مطابق کتاب روش‌های استاندارد برای آزمایش‌های آب و فاضلاب<sup>(۱۷)</sup> تعیین گردید.



شکل ۱. شماتیک راکتور مورد استفاده در مطالعه حاضر

۱. راکتور مخصوص انجام واکنش شیمیایی-۲. همن-۳. راکتور کوارتز مخصوص لامپ UV-۴. لامپ UV-۵. راکتور مخصوص خنک کردن-۶. آب خنک کننده ورودی-۷. آب خنک کننده خروجی-۸. محل نمونه برداری-۹. کپسول گاز نیتروژن و اکسیژن-۱۰. خروجی گاز نیتروژن و اکسیژن-۱۱. پریز برق و ترانس مربوطه

انجام این فرآیند، مانند تغییرات غلظت ورودی کروم شش ظرفیتی، تغییرات pH و زمان مواجهه مطالعه شد. همچنین، نتایج حاصل آزمایشات با سیتیک درجه صفر، یک و دو، مورد بررسی قرار گرفت.

## مواد و روش‌ها

این تحقیق، یک مطالعه تجربی و بنیادی- کاربردی بود. به طور کلی، مراحل تحقیق شامل تهیه مواد و وسایل مورد نیاز، ساخت محلول استوک کروم شش ظرفیتی، طراحی و ساخت راکتور، آزمایشات فتوکاتالیستی، تجزیه و تحلیل داده‌ها بود که به صورت جداگانه در زیر شرح داده شده است.

تهیه مواد شیمیایی مورد نیاز: همه مواد شیمیایی مورد نیاز، از شرکت مرک آلمان تهیه شد. نانوذرات ZnO با ابعاد  $20\text{ nm}$  با سطح ویژه  $90\text{ m}^2/\text{g}$  و چگالی ظاهری  $65\text{ g/m}^3$  از شرکت نانو پارس لیما تهیه گردید. لامپ UV فشار متوسط  $125\text{ W}$  با طول موج  $247/3\text{ nm}$  نانومتر نیز، از شرکت شکوفان توسعه (Shokooffan Toseh Iran) تهیه شد.

تهیه محلول استوک کروم شش ظرفیتی: محلول مادر کروم شش ظرفیتی ( $1000\text{ mg/l}$ ) با استفاده از حل کردن دیکرومات پتاسیم ( $\text{K}_2\text{Cr}_2\text{O}_7$ ), در آب بدون یون تهیه شد. برای جلوگیری از تغییرات غلظت، محلول مادر در یخچال نگه داری شد. جهت تنظیم pH نیز از اسید کلریدریک و سود یک نرمال استفاده گردید<sup>(۱۸)</sup>.

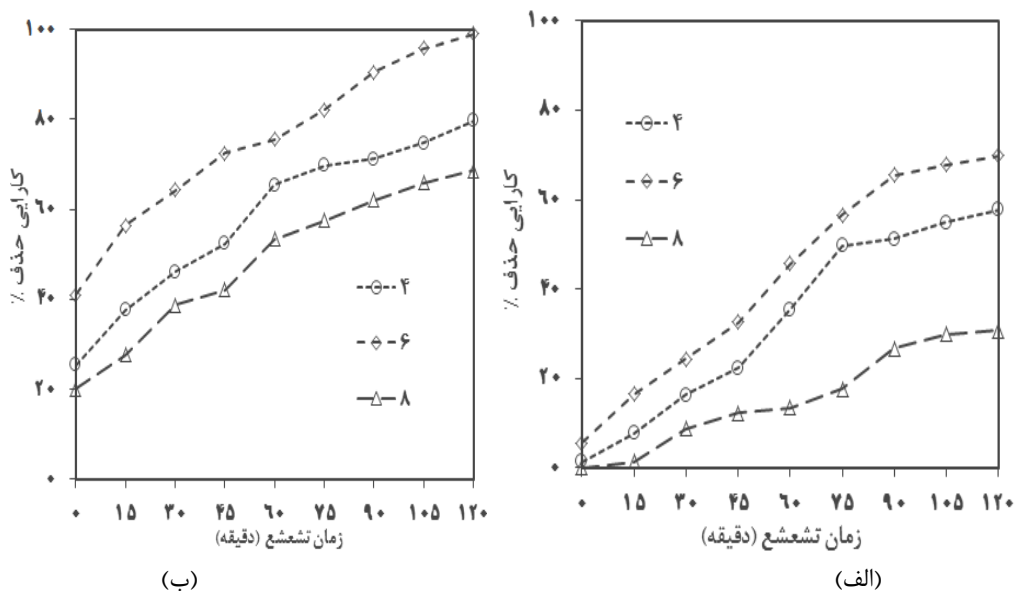
طراحی و ساخت راکتور: راکتور مورد استفاده در شکل ۱ نشان داده شده است. همان‌طور که در شکل ۱ مشاهده می‌شود، راکتور مورد مطالعه، از دو قسمت تشکیل شده است. قسمت بیرونی راکتور، حاوی محلولی به حجم  $2\text{ L}$  و قسمت درونی، برای محفظه نصب لامپ UV است. قسمت بیرونی، با یک راکتور بزرگ‌تر به حجم  $10\text{ L}$  با آب، برای نگهداری محلول در دمای  $25^\circ\text{C}$  پوشیده شده است. همه آزمایش‌های فتوکاتالیستی در راکتور به حجم  $1000\text{ ml}$  انجام شد. در طول آزمایش‌های، محلول به طور مداوم هم زده شد.

آزمایشات فتوکاتالیستی: عوامل مورد بررسی در این پژوهش، شامل غلظت اولیه کروم شش ظرفیتی ( $40, 50, 60\text{ mg/l}$ )، از  $\text{pH}$  اولیه ( $4, 6, 8$ ) و زمان واکنش  $15, 20, 30, 40, 60$  تا  $120$ ،

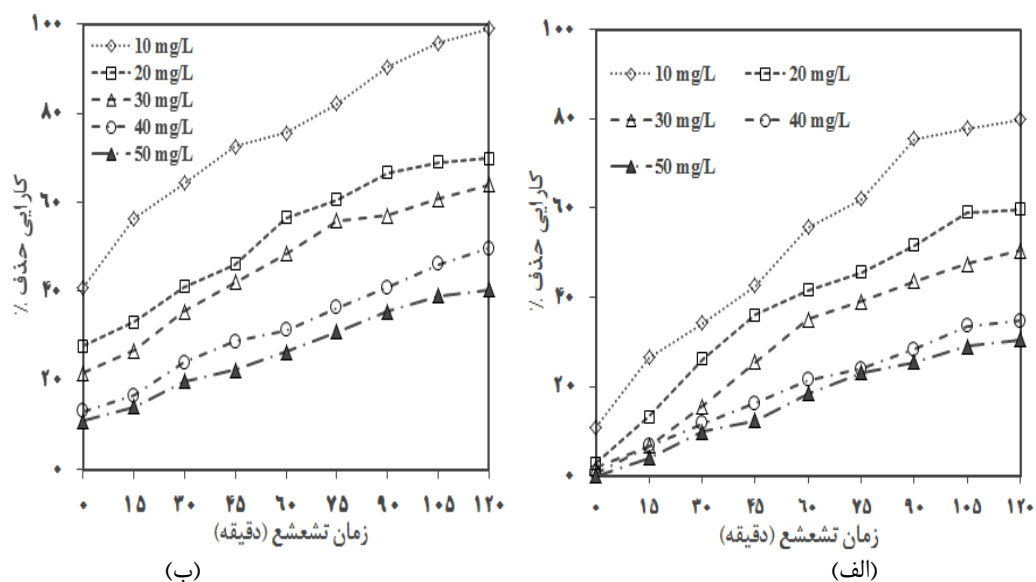
و سپس کاهش می‌یابد. به طوری که pH از ۴ به ۶ و سپس به ۸ افزایش می‌یابد. کارایی حذف کروم شش ظرفیتی به ترتیب، از ۷۵/۰٪ به ۶۹/۷٪ افزایش و سپس به ۳۰/۶٪ در شرایط هوازی کاهش یافت، همچنان کارایی حذف در شرایط بی‌هوایی به ترتیب، از ۷۹/۵٪ به ۹۸/۹٪ افزایش و سپس به ۶۸/۶٪ کاهش یافت. اما کارایی حذف در حضور گاز اکسیژن، کمتر از گاز نیتروژن بود.

## نتایج

**تأثیر pH بر روی کارایی حذف کروم شش ظرفیتی:** تأثیر pH بر روی کارایی حذف کروم شش ظرفیتی با تغییر در pH اولیه ۶،۴ و ۸ در غلظت ثابت کروم شش ظرفیتی  $10\text{ mg/L}$  و دوز کاتالیست  $1\text{ g/L}$  در زمان‌های مختلف بررسی شد. در شکل ۲، نتایج حاصل از تأثیر pH بر روی کارایی حذف در شرایط هوازی (الف) و شرایط بی‌هوایی (ب) نشان داده شده است. مشاهده می‌شود که با افزایش pH، کارایی حذف ابتدا افزایش



شکل ۲. تأثیر pH بر روی کارایی حذف الف: شرایط بی‌هوایی ب: شرایط بی‌هوایی (غلظت اولیه کروم شش ظرفیتی  $10\text{ mg/L}$ ، دوز کاتالیست  $1\text{ g/L}$ )



شکل ۳ تأثیر غلظت اولیه کروم شش ظرفیتی بر روی کارایی حذف الف: شرایط بی‌هوایی ب: شرایط بی‌هوایی ( $\text{pH}=6$ ، دوز کاتالیست  $1\text{ g/L}$ )

دو بررسی گردید. فرم خطی این معادلات به ترتیب، به صورت زیر نوشته می‌شوند.

$$\text{Cr(VI)}_0 - \text{Cr(VI)}_t = k_0 t \quad (1)$$

$$\ln(\text{Cr(VI)}_0 / \text{Cr(VI)}_t) = k_1 t \quad (2)$$

$$1/\text{Cr(VI)}_0 - 1/\text{Cr(VI)}_t = k_2 t \quad (3)$$

$\text{Cr(VI)}_0$  = غلظت اولیه کروم شش ظرفیتی (mg/L)

$\text{Cr(VI)}_t$  = غلظت کروم شش ظرفیتی در زمان  $t$  (min)

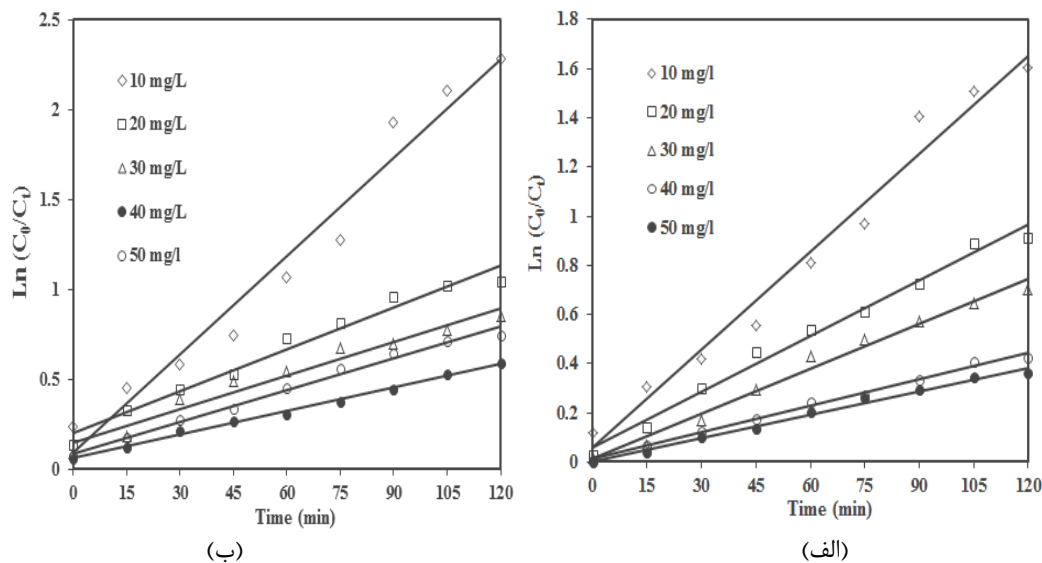
$K_{0,1,2}$  = ثابت سیتیک درجهٔ صفر، یک و دو (1/min)

$t$  = زمان مواجهه (min)

به علت این‌که غلظت اولیه کروم شش ظرفیتی، در این مطالعه پایین بود، سیتیک واکنش در این سیستم، با معادله Langmuir-Hinshelwood شبه درجهٔ یک توصیف شد. به طور کلی، نتایج حاصل از داده سیتیکی در شکل ۴ الف و ب و جدول‌های ۱ و ۲، به ترتیب، برای شرایط هوازی و بی‌هوازی نشان‌داده شده‌است.

**تأثیر غلظت اولیه کروم شش ظرفیتی بر روی کارایی حذف:** تاثیر غلظت اولیه کروم شش ظرفیتی بر روی کارایی حذف کروم شش ظرفیتی، با تغییر در غلظت اولیه کروم شش ظرفیتی (۱۰، ۲۰، ۳۰، ۴۰، ۵۰ mg/l) در pH=۶ و دوز کاتالیست ۱ g/L ادر زمان‌های مختلف بررسی شد. در شکل ۳، نتایج حاصل از تاثیر غلظت اولیه کروم شش ظرفیتی در شرایط هوازی (الف) و شرایط بی‌هوازی (ب) بر روی کارایی حذف نشان داده شده‌است. همان‌طوری که مشاهده می‌گردد، با افزایش غلظت اولیه کروم شش ظرفیتی، کارایی فرآیند در هر دو حالت کاهش یافت؛ به طوری که وقتی غلظت اولیه کروم شش ظرفیتی از ۱۰ mg/L به ۵۰ mg/L افزایش یافت، کارایی حذف در شرایط هوازی از ۷۹/۳٪ به ۵۶/۰٪، و در شرایط بی‌هوازی از ۹۸/۹٪ به ۴۶/۰٪ کاهش یافت. اما کارایی حذف در حضور گاز اکسیژن کمتر از گاز نیتروژن بود.

**مطالعه سیتیکی:** به طور کلی، داده‌های حاصل از یافته‌ها، از لحظ سیتیک واکنش با معادلات سیتیکی درجهٔ صفر، یک و



شکل ۴. سیتیک حذف کروم شش ظرفیتی الف (شرایط هوازی) ب (شرایط بی‌هوازی) (۱ g/L، pH=۶، دوز کاتالیست ۱ mg/L)

جدول ۱. داده‌های سیتیکی حذف کروم شش ظرفیتی، با استفاده از UV/ZnO در شرایط هوازی

| Cr(VI)<br>(mg/L) | Zero-order  |                | First-order                   |                | Second-order                                      |                |
|------------------|---|----------------|-------------------------------|----------------|---|----------------|
|                  | $k_0$<br>(mol L <sup>-1</sup> min <sup>-1</sup> ) | R <sup>2</sup> | $k_1$<br>(min <sup>-1</sup> ) | R <sup>2</sup> | $k_2$<br>(L mol <sup>-1</sup> min <sup>-1</sup> ) | R <sup>2</sup> |
| ۱۰               | ۰/۰۴۴۲  | ۰/۶۷۳۷         | ۰/۰۱۳۲                        | ۰/۹۷۷۵         | ۰/۰۴۵   | ۰/۶۳۵۳         |
| ۲۰               | ۰/۰۵۱۹  | ۰/۶۹۷۷         | ۰/۰۰۷۵                        | ۰/۹۸۷۱         | ۰/۰۰۵   | ۰/۹۱۳۷         |
| ۳۰               | ۰/۰۹۷۹  | ۰/۷۳۷۶         | ۰/۰۰۶۱                        | ۰/۹۸۵۲         | ۰/۰۰۳۴  | ۰/۹۷۴۴         |
| ۴۰               | ۰/۰۱۸۵  | ۰/۹۵۶۹         | ۰/۰۰۳۶                        | ۰/۹۹۴۳         | ۰/۰۰۰۸  | ۰/۹۳۳۹         |
| ۵۰               | ۰/۰۹۵۸  | ۰/۸۳۴۹         | ۰/۰۰۳۲                        | ۰/۹۹۰۳         | ۰/۰۰۰۲  | ۰/۸۷۴۹         |

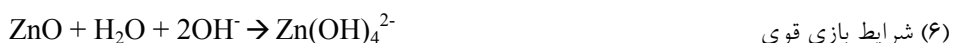
جدول ۲. داده‌های سیستیکی حذف کروم شش ظرفیتی با استفاده از UV/ZnO در شرایط بی‌هوایی

| Cr(VI)<br>(mg/L) | Zero-order  |                | First-order                   |                | Second-order                                      |                |
|------------------|---|----------------|-------------------------------|----------------|---|----------------|
|                  | $k_0$<br>(mol L <sup>-1</sup> min <sup>-1</sup> ) | R <sup>2</sup> | $k_1$<br>(min <sup>-1</sup> ) | R <sup>2</sup> | $k_2$<br>(L mol <sup>-1</sup> min <sup>-1</sup> ) | R <sup>2</sup> |
| ۱۰               | ۰/۰۷۳۷  | ۰/۸۷۲۰         | ۰/۹۷۵۶                        | ۰/۰۰۲۷         | ۰/۰۰۲۳  | ۰/۹۳۴۹         |
| ۲۰               | ۰/۰۳۶۴  | ۰/۷۳۵۴         | ۰/۹۶۶۷                        | ۰/۰۱۸۲         | ۰/۰۳۹   | ۰/۹۲۷۳         |
| ۳۰               | ۰/۱۵۹۴  | ۰/۸۲۷          | ۰/۹۶۲۵                        | ۰/۰۰۶۳         | ۰/۰۴۰۵  | ۰/۹۸۷۳         |
| ۴۰               | ۰/۰۳۷۴  | ۰/۷۳۸۴         | ۰/۹۹۵۱                        | ۰/۰۰۴۴         | ۰/۰۰۴۷  | ۰/۷۳۴۸         |
| ۵۰               | ۰/۴۷۴   | ۰/۶۵۷۸         | ۰/۹۸۸۸                        | ۰/۰۰۵۹         | ۰/۰۳۷۴  | ۰/۶۳۷۹         |

### بحث و نتیجه‌گیری

چشم‌گیری نسبت به شرایط هوایی افزایش یافت. به علت این‌که پتانسیل تجزیه ZnO نسبت به H<sub>2</sub>O کمتر است، الکترون‌ها از ZnO به حفره‌های تولید شده فوتونی منتقل و در اثر خوردنگی نوری ZnO طبق معادله ۴ اکسیده می‌شود<sup>(۹)</sup>. هم‌چنین، ZnO در شرایط اسیدی و بازی، به ترتیب، بر طبق معادله ۵ و ۶ محلول است. همان‌طور که در معادلات ۵ و ۶ مشاهده می‌شود، علت اصلی احیا، خوردنگی فتوشیمیابی ZnO در pH اسیدی و قلیابی است. هم‌چنین، تشکیل<sub>2</sub> Zn(OH) بدون بار بر طبق معادله ۷ نیز می‌تواند علت اصلی این پدیده باشد<sup>(۱۵)</sup>.

بررسی تاثیر تغییرات هم‌زمان زمان تماس و pH بر کارآیی حذف کروم(VI): در این مرحله از آزمایش‌ها، غلاظت نانوذرات اکسید روی (۱گرم در لیتر) و غلاظت کروم (VI) (۱۰ میلی گرم در لیتر) ثابت در نظر گرفته شد و تاثیر تغییر هم‌زمان زمان تماس و pH بر کارآیی حذف بررسی شد. این نتایج در شکل‌های ۲ الف و ب، به ترتیب، برای شرایط هوایی و بی‌هوایی آورده شده‌است. بر اساس این نتایج، با افزایش زمان تماس در همه مقادیر pH (۴، ۶، ۸)، کارآیی حذف کروم (VI) افزایش یافت. هم‌چنین، در همه شرایط با افزایش pH کارآیی حذف ابتدا افزایش و سپس کاهش یافت. هم‌چنین مشاهده شد که در حضور گاز نیتروژن، کارآیی حذف به طور



به‌طور کلی، حذف کروم شش ظرفیتی در فرآیند مورد مطالعه با تغییرات pH بر طبق واکنش‌های ۱-۸ انجام می‌شود<sup>(۱۰-۲۱)</sup>.

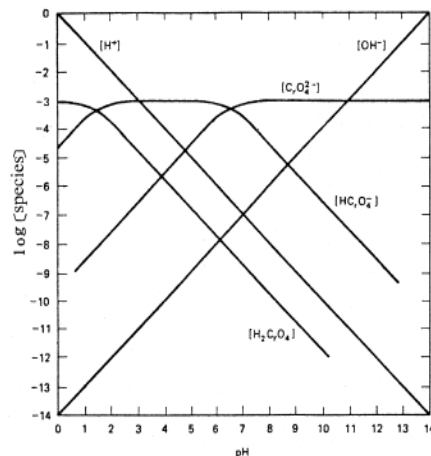


بر اساس تغییرات pH در شکل ۵ نشان داده شده‌است  
(۲۲، ۱۴، ۸، ۵).

به‌طورکلی، توزیع گونه‌ای کروم شش ظرفیتی در محلول آبی  
(۲۳).

بین آن‌ها جلوگیری می‌کند. بنابراین، کارایی فرآیند کاهش می‌یابد (۱۴، ۱۹، ۲۰ و ۲۵). به طوری که نتایج به دست آمده با نتیجه تحقیق پیشین ما - حذف کروم شش ظرفیتی و نیکل دو ظرفیتی با استفاده از دی اکسید تیتانیوم - مطابقت دارد (۱۵). همان‌طور که در شکل ۴ الف و ب نشان داده شده‌است، به علت این‌که غلظت اولیه کروم (VI) در این مطالعه پایین بود، سیتیک واکنش با معادله درجه یک Langmuir-Hinshelwood توصیف شد. همان‌طور که در جدول‌های ۱ و ۲ نشان داده شده‌است، در شرایط ثابت  $pH=6$  غلظت نانو ذرات اکسید روی  $1\text{ g/L}$ ، با افزایش غلظت اولیه کروم شش ظرفیتی از  $10\text{ }\mu\text{M}$  به  $50\text{ }\mu\text{M}$  در لیتر ضریب سیتیکی ( $k_1$ ) و نیز، ضریب رگرسیون ( $R^2$ ) در همه شرایط کاهش یافت. به طور مثال، مقدار ضریب سیتیکی ( $k_1$ ) و نیز، ضریب رگرسیون ( $R^2$ ) برای غلظت اولیه کروم شش ظرفیتی برابر با  $10\text{ }\mu\text{M}$  در لیتر  $0.9775\pm 0.0027$  و  $0.9756\pm 0.0027$  به ترتیب، در شرایط هوایی و بی‌هوایی است.

بررسی تأثیر شرایط هوایی (حضور گاز اکسیژن) و بی‌هوایی (حضور گاز نیتروژن) بر کارایی حذف کروم (VI) توسط نانو ذرات اکسید روی: همان‌طور که در قسمت نتایج آورده شده‌است، مقدار گاز اکسیژن و نیتروژن برابر با  $2\text{ Litor}$  در دقیقه با استفاده از کپسول گاز اکسیژن و نیتروژن متصل به مانومتر وارد راکتور گردید و این مقدار گاز از یک طرف وارد و از طرف دیگر خارج شد؛ به طوری که این میزان، در کل آزمایشات ثابت باقی ماند. به طور کلی، در شرایط ثابت کارایی حذف در شرایط بی‌هوایی، بیشتر از هوایی بود. البته، در هر دو حالت، تفسیر همه متغیرها یکسان بود و فقط کارایی حذف فرق کرد (به طور مثال، با افزایش  $pH$ ، کارایی حذف در دو شرایط، ابتدا افزایش و سپس کاهش یافت). علت اصلی کاهش کارایی حذف در حضور گاز اکسیژن آن است که بر طبق معادلات  $11-20$  رادیکال آزاد بیشتری در واکنش  $\text{ZnO} + \text{O}_2$  تولید شده‌است و در حضور اکسیژن، اکسید روی تمایل به واکنش بیشتر با اکسیژن داشته، در نتیجه، باعث کاهش واکنش کروم شش ظرفیتی با اکسید روی شده‌است و در نهایت، کارایی حذف کاهش یافت. اما



شکل ۵. توزیع گونه‌های کروم شش ظرفیتی در محلول آبی بر اساس pH

طبق مطالعه‌ای که گوردون و شنگ در سال ۲۰۰۸ بر روی حذف کروم (VI) با استفاده از اشعه نور مرئی در حضور نانو ذرات اکسید روی سنتز شده انجام دادند، به این نتیجه رسیدند که در شرایط ثابت (غلظت کروم (VI) برابر با  $20\text{ }\mu\text{M}$  در لیتر و غلظت نانو ذرات اکسید روی برابر با  $1\text{ }\mu\text{M}$  در لیتر) بیشترین کارایی حذف در pH برابر با ۷ مشاهده گردید (۲۴). همچنین، نتایج به دست آمده، با مطالعه پیشین ما - حذف کروم شش ظرفیتی و نیکل دو ظرفیتی با استفاده از نانو ذرات اکسید روی سنتز شده - مطابقت دارد (۱۵).

بررسی تأثیر غلظت اولیه کروم (VI) بر کارایی حذف آن توسط نانو ذرات اکسید روی: نتایج تأثیر تغییرات غلظت اولیه کروم (VI) در آزمایش‌های حذف این ماده توسط نانو ذرات اکسید روی در شکل ۳ الف و ب به ترتیب در شرایط هوایی و بی‌هوایی نشان داده شده‌است. همان‌طور که مشاهده می‌شود، کارایی حذف با افزایش غلظت اولیه کروم شش ظرفیتی کاهش یافت و در حضور گاز نیتروژن، کارایی حذف به طور چشم‌گیری نسبت به گاز اکسیژن افزایش یافت. دلیل این امر، آن است که با افزایش غلظت اولیه کروم (VI)، مولکول‌های کروم (VI) بیشتری روی سطح نانو ذرات اکسید روی احیا و اکسید می‌شود. مقدار زیاد احیا و اکسید کروم (VI) از واکنش مولکول‌های کروم (VI) با حفره‌های فوتونی تولید شده و رادیکال هیدروکسیل به علت عدم تماس مستقیم

ختنی است. به طور کلی، نتایج حاصل از این تحقیق، به صورت زیر است.

- حذف کروم شش ظرفیتی با کاهش pH نسبت به pH ختنی، به علت کمتر بودن پتانسیل تجزیه ZnO نسبت به  $H_2O_2$  کاهش یافت.

- حذف فتوکاتالیستی کروم شش ظرفیتی با افزایش غلظت اولیه کروم شش ظرفیتی، به علت احیای بیشتر مولکول‌های کروم شش ظرفیتی روی سطح نانوذرات ZnO کاهش یافت و به علت پایین بودن غلظت اولیه کروم شش ظرفیتی در مطالعه سیتیک فرآیند از سیتیک درجه یک پیروی می‌کند.

- در مجموع، نتایج حاصل از انجام آزمایش‌های مشخص ساخت که می‌توان از فرآیند UV/ZnO، به عنوان یک روش موثر در جهت حذف کروم شش ظرفیتی از محلول‌های آبی، استفاده کرد. همچنین، در مجموع، نتایج حاصل از انجام آزمایش‌ها مشخص ساخت که در شرایط ثابت، کارایی حذف در شرایط بی‌هوایی، بیشتر از هوایی بود و میزان اکسیژن محلول از احیای کروم شش به سه ظرفیتی، به طور چشم‌گیری جلوگیری می‌کند.

**تشکر و قدردانی:** از معاونت محترم تحقیقات و فن‌آوری دانشگاه علوم پزشکی و خدمات بهداشتی درمانی همدان و نیز معاونت محترم تحقیقات و فن‌آوری دانشگاه علوم پزشکی و خدمات بهداشتی درمانی گیلان به خاطر حمایت مالی از این تحقیق و فراهم نمودن امکانات لازم تشکر و قدردانی به عمل می‌آید.

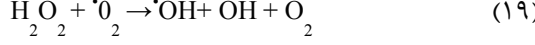
نویسنده‌گان اعلام می‌دارند که هیچ‌گونه تضاد منافعی ندارند.

1 Namasivayam C,Ranganathan K. Removal of Cd(II) From Wastewater by Adsorption on waste Fe(III) Cr(III) Hydroxide. Water Research 1995; 29 1737-1744

2. Raji C,Anirudhan TS. Batch Cr(VI) Removal by Polyacrylamide-grafted Sawdust: Kinetics and Thermodynamics. Water Research 1998; 32 3772-3780.

3. Rengaraj S, Yeon K-H, Moon S-H. Removal of Chromium from Water and Wastewater by ion

در شرایط بی‌هوایی در حضور گاز نیتروژن، عکس این عمل رخ خواهد داد (۲۶ و ۲۷).



به‌طوری‌که نتایج حاصل با مطالعه لین و همکاران بر روی احیای کروم شش ظرفیتی با استفاده از دی‌اکسید تیتانیوم در حضور گاز نیتروژن و اکسیژن، مطابقت دارد (۲۷). همچنین، نتایج حاصله با مطالعه یانگ و همکاران بر روی حذف کروم شش ظرفیتی با استفاده از دی‌اکسید تیتانیوم در حضور گاز نیتروژن و اکسیژن، مطابقت دارد (۲۶).

گزارش‌های زیادی در مورد استفاده از نانوتکنولوژی، به عنوان فرآیندی مؤثر در تصفیه و حذف آلاینده‌ها از محیط زیست، وجود دارد. یکی از فناوری‌های نانو که اخیراً مقبولیت زیادی پیدا کرده است، استفاده از ذرات در مقیاس نانو برای تصفیه و حذف آلاینده‌های است. از جمله این آلاینده‌ها، می‌توان به فلزات سنگین، حشره‌کش‌ها، علف‌کش‌ها، رنگ‌ها، هیدروکربن‌های کلرینه اشاره نمود. نتایج نشان می‌دهد که کروم شش ظرفیتی در محدوده کمی از pH توسط نانوذرات اکسید روی حذف می‌گردد؛ به طوری‌که pH موثر برای حذف این فلز، pH

## منابع

- Exchange Resins. J HAZARD MATER2001; 87: 273-287.
4. Babel S,Kurniawan TA. Cr (VI) Removal from Synthetic Wastewater Using Coconut Shell Charcoal and Commercial Activated Carbon Modified with Oxidizing Agents and/or Chitosan. Chemosphere 2004; 54: 951-967.
5. ShirzadSiboni M, Samadi M-T, Yang J-K, Lee S-M. Photocatalytic Removal of Cr(VI) and Ni(II) by UV/TiO<sub>2</sub>: Kinetic Study. Desalination and Water Treatment 2011; 40: 77-83.

6. Koby M. Removal of Cr(VI) from Aqueous Solutions by Adsorption onto Hazelnut Shell Activated Carbon: Kinetic and Equilibrium Studies. *Bioresource Technology* 2004; 91: 317-321.
7. Namasivayam C, Yamuna RT. Adsorption of Chromium (VI) by a low-cost Adsorbent: Biogas Residual Slurry. *Chemosphere* 1995; 30: 561-578.
8. Selvi K, Pattabhi S, Kadirvelu K. Removal of Cr(VI) From Aqueous Solution by Adsorption onto Activated Carbon. *Bioresource Technology* 2001; 80: 87-89.
9. A. Akyol, Yatmaz HC and Bayramo M. Photocatalytic Decolourization of Remazol Red RR in Aqueous ZnO Suspensions. *Appl Catal B* 2004; 54: 19-24.
10. Akyol A, Yatmaz, Bayramo M. Photocatalyticdecolourization of Remazol Red RR in Aqueous ZnO Suspensions. *ApplCatal B* 2004; 54: 19-24.
11. Cimino G, Passerini A, Toscano G. Removal of Toxic Cations and Cr(VI) from Aqueous Solution by Hazelnut shell. *Water Research* 2000; 34: 2955-2962.
12. Dai Y, Zhang Y, Li QK, Nan CW. Synthesis and Optical Properties of Tetrapod-like Zinc Oxide Nanorods. *ChemPhysLett* 2002; 385: 83-86.
13. Kajitvichyanukul P, Changul AC. Photocatalytic Removal Of Tri- And Hexa-Valent Chromium Ions From Chrome-Electroplating Wastewater. *AJSTD* 2005; 22: 355-362.
14. Papadam T, Xekoukoulakis NP, Poulios I, Mantzavinos D. Photocatalytic Transformation of Acid Orange 20 and Cr(VI) in Aqueous TiO<sub>2</sub> Suspensions. *Journal of Photochemistry and Photobiology A: Chemistry* 2007; 186: 308-315.
15. Shirzad Siboni M, Samadi MT, Yang JK and Lee SM. Photocatalytic Reduction of Cr(VI) and Ni(II) in Aqueous Solution by Synthesized Nanoparticle ZnO Under Ultraviolet light Irradiation: a Kinetic Study. *Environmental Technology* 2011; 32: 1573-1579.
16. Yang CC, Chan SW. Photocatalytic Reduction of Chromium(VI) in Aqueous SolutionU sing dye-Sensitized NanoscaleZnO Under Visible Light Irradiation. *J Nanopart Res* 2008; 11: 221-230.
17. Dadong S, Xiangke W, Qiaohui F. Photocatalytic Reduction of Cr(VI) to Cr(III) in Solution ContainingZnO or ZSM-5 Zeolite Using Oxalate as Model Compound in Environment. *MicroporousMesoporous Mater* 2009; 117: 243-248.
18. American Public Health Association, American Water Works Association, Water Environment Federation. *Standard Methods for the Examination of Water and Wastewater*. 21 Edition. Washington: American Public Health Association, American Water Works Association, Water Environment Federation; 2005. Available from: [http://www.mwa.co.th/download/file\\_upload/SMWW\\_1000-3000.pdf](http://www.mwa.co.th/download/file_upload/SMWW_1000-3000.pdf)
19. Liu SX. Removal of Copper (VI) from Aqueous Solution by Ag/TiO<sub>2</sub>; Photocatalysis. *Bulletin of Environmental Contamination and Toxicology*; 74: 706-714.
20. Liu Z, Wang G, Zhao X. Removal of Cr (VI) from Aqueous Solution Using Ultrafine Coal Fly Ash. *Journal of Wuhan University of Technology-Mater Sci Ed.* 2010; 25: 323-327.
21. Sun B, Reddy EP, Smirniotis PG. Visible Light Cr(VI) Reduction and Organic Chemical Oxidation by TiO<sub>2</sub> Photocatalysis. *Environmental Science & Technology* 2005; 39: 6251-6259.
22. Ku Y, Jung I-L. Photocatalytic Reduction of Cr(VI) in Aqueous Solutions by UV Irradiation with the Presence of Titanium Dioxide. *Water Research* 2001; 35: 135-142.
23. ShirzadSiboni M, Samarghandi MR, Azizian S, Kim WG, Lee SM. The Removal of Hexavalent Chromium from Aqueous Solutions Using Modified Holly Sawdust: Equilibrium and Kinetis Studies. *Environmental Enginnering Research* 2011; 16: 1-6.
24. Gordon C, Yang C, Chan CW. Photocatalytic Reduction of Chromium(VI) in Aqueous Solution Using Dye-sensitized NanoscaleZnO Under Visible Light Irradiation. *Journal of Nanoparticle Research* 2008; 10: 221-230.
25. ShirzadSiboni M, Samarghandi M, Yang J-K, Lee S-M. Photocatalytic Removal of Reactive Black-5 Dye from Aqueous Solution by UV Irradiation in Aqueous TiO<sub>2</sub>: Equilibrium and Kinetics Study. *J AdvOxidTechnol* 2011; 14: 267-278.
26. Yang JK, Lee SM, Farrokhi M, Giahi O, ShirzadSiboni M. Photocatalytic Removal of Cr(VI) with Illuminated TiO<sub>2</sub>. *Desalination and Water Treatment* 2012; 46: 375-380.
27. Wen-Yuan Lin, Wei C, Krishnan Rajeshwar. Photocatalytic Reduction and Immobilization of Hexavalent Chromium at Titanium Dioxide in Aqueous Basic Media. *J ElectrochemSoc* 1993; 140: 2477-2482.

# Photocatalytic Removal of Hexavalent Chromium from Aquatic Solution by Using of Zinc Oxide (ZnO) Nanoparticle in Aerobic and Anaerobic Condition: Kinetic Study

Samarghandi M.R.(PhD)<sup>1</sup>- Farrokhi M.(PhD)<sup>2</sup>- \*Shirzad-Siboni M.(PhD Candidate)<sup>3,4</sup>

**\*Corresponding Address:** Department of Environmental Health Engineering, School of Health, Guilan University of Medical Sciences, Rasht, Iran  
**Email:** mshirzadsiboni@yahoo.com

Received: 30 Sep/2013 Accepted : 10 Feb/2014

## Abstract

**Introduction:** Industrial wastewater containing heavy metals, is one of the important sources of environmental pollution. As a heavy metal, hexavalent chromium exists in electroplating wastewater and is harmful for human health and environment

**Objective:** The research was carried out to investigate the photocatalytic removal of hexavalent chromium from aquatic solution using zinc Oxide (ZnO)nanoparticle in aerobic and anaerobic conditions in batch system.

**Materials and Methods:** At first, a reactor was designed and made. Effects of solution pH, contact time and initial Cr(VI) concentration on the purging of oxygen and nitrogen gas were investigated, with ZnO dosage equal to 1g/L. Cr(VI) residual concentration was analyzed by the 1,5-diphenylcarbazide method using a spectrophotometer (Shimadzu UV-160A), at a wavelength of 540 nm.

**Results:** The results showed that removal efficiency of chromium in constant conditionwas decreased from 57.65% to 30.63%and 79.5% to 68.67% by increasing of pH from 4 to 8 in aerobic and anaerobic conditions, respectively. Also, by increasing of initial chromium concentration from 10 to 50 mg/L,removal efficiency was decreased from 79.34% to 30.56% in aerobic condition and 98.98% to 40.46% in anaerobic condition. Removal efficiency in the presence of nitrogen gas was more than that of oxygen gas. The reduction pattern was better described by the first-order kinetic model.

**Conclusion:** Overall, the results of this study show that the studied methodology in this research can be used as an effective method in the removal of hexavalent chromium from aquatic solution. Finally, dissolved oxygen shows a greater inhibition effect on the reduction of Cr(VI) than the nitrogen gas which exhibits a noticeable reduction.

**Conflict of interest: non declared**

**Key word:** Chromium Hexavalent/Water Purification/Zinc Oxide

---

Journal of Guilan University of Medical Sciences, Suplement 1, 2014, Pages: 1-10

**Please cite this article as:** Samarghandi MR, Farrokhi M, Shirzad-Siboni M. Photocatalytic Removal of Hexavalent Chromium from Aquatic Solution by Using of Zinc Oxide (ZnO) Nanoparticle in Aerobic and Anaerobic Condition: Kinetic Study. J of Guilan University of Med Sci 2014; 22(Suplement 1):1-10

- 
1. Department of Environmental Health Engineering, School of Public Health, Hamadan University of Medical Sciences, Hamadan, Iran.
  2. Department of Environmental Health Engineering, School of Health, Alborz University of Medical Sciences, karaj, Iran
  3. Department of Environmental Health Engineering, School of Health, Guilan University of Medical Sciences, Rasht, Iran
  4. Department of Environmental Health Engineering, School of Health, Iran University of Medical Sciences, Tehran, Iran.